

Dosimetría en Fluoroscopía

TM Daniel Castro Acuña, MSc

Dpto. Tecnología Médica

Hospital Clínico

Universidad de Chile



- La fluoroscopía, particularmente cuando involucra procedimientos intervencionsitas, puede implicar para el paciente riesgos tanto de efectos estocásticos como deterministas.
- Lesiones en la piel en estos pacientes puede llegar a observarse si las dosis de radiación supera los umbrales para su aparición.



UNIVERSIDAD DE CHILE

Resumen de los principales efectos deterministas a nivel de tejido u órgano (radiación de baja LET y exposición aguda)

Tejido	Efecto	Periodo de latencia aproximado	Umbral aproximado (Gy) Dosis que producen efectos severos		Causa	
Sistema hematopoyético	Infecciones Hemorragias	2 semanas	0,5	2,0	Leucopenia Plaquetopenia	
Sistema Inmune	Inmunosupresión	Algunas horas	0,1	1,0	Linfopenia	
Sistema gastrointestinal	Infección sistémica Deshidratación Desnutrición	1 semana	2,0	5,0	Lesión del epitelio intestinal	
Piel	Escamación	3 semanas	3,0	10,0	Daño en la capa basal	
Testículo	Esterilidad	2 meses	0,2	3,0	Aspermia celular	
Ovario	Esterilidad	< 1 mes	0,5	3,0	Muerte interfásica del oocito	
Pulmón	Neumonía	3 meses	8,0	10,0	Fallos en la barrera alveolar	
Cristalino	Cataratas	> 1 año	0,2	5,0	Fallos en la maduración	
Tiroides	Deficiencias metabólicas	< 1 año	5,0	10,0	Hipotiroidismo	
Sistema nervioso central	Encefalopatías y mielopatías	Muy variable según dosis	15,0	30,0	Demielinización y daño vascular	



Publicación 85 de ICRP, año 2000.

Caso:

- Paciente hombre, 40 años.
- Se le realiza angiografía coronaria diagnóstica, posteriormente angioplastía coronaria y finalmente una segunda angiografía debido a complicaciones.
- Dosis absorbida en piel de probablemente 20 Gy.









16-21 semanas







18 – 21 semanas





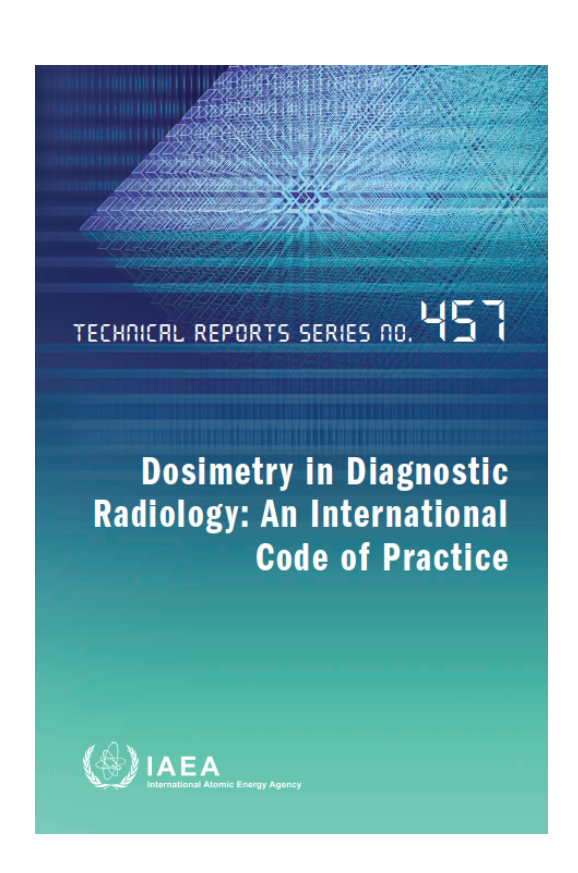


¿Qué magnitudes dosimétricas pueden utilizarse en fluoroscopía?

Código de Práctica Internacional

FACULTAD DE MEDICINA
HINIVERSIDAD DE CHILE

- El OIEA recomienda 2 magnitudes:
- Tasa de kerma en aire en la superficie de entrada. \dot{K}_e
 - Magnitud principal para mediciones con uso de fantomas.
- ullet Producto Kerma en aire área. $\,P_{
 m KA}$
 - Para mediciones en paciente.
 - Relacionada con la energía impartida al paciente y la dosis efectiva.



Magnitudes dosimétricas

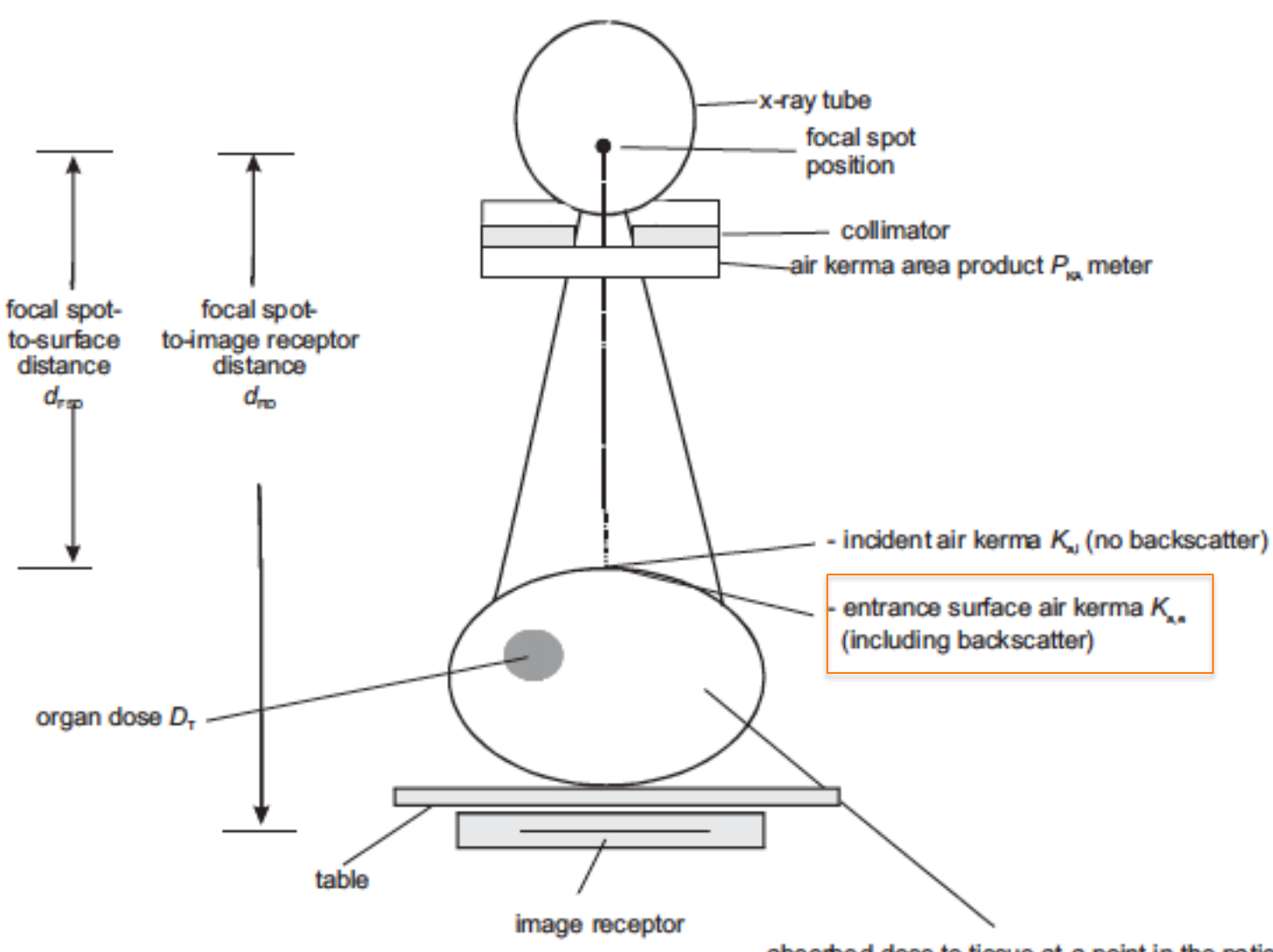


- Kerma en aire en la superficie de entrada (ICRU 74).
 - Kerma en aire en el eje central del haz de rayos X en el punto donde el haz entra en el paciente o fantoma.
 - Se incluye la contribución del backscatter.
 - Medido en Gy.

$$K_{\mathrm{a,e}} = K_{\mathrm{a,i}}B$$

B: Factor de backscatter.



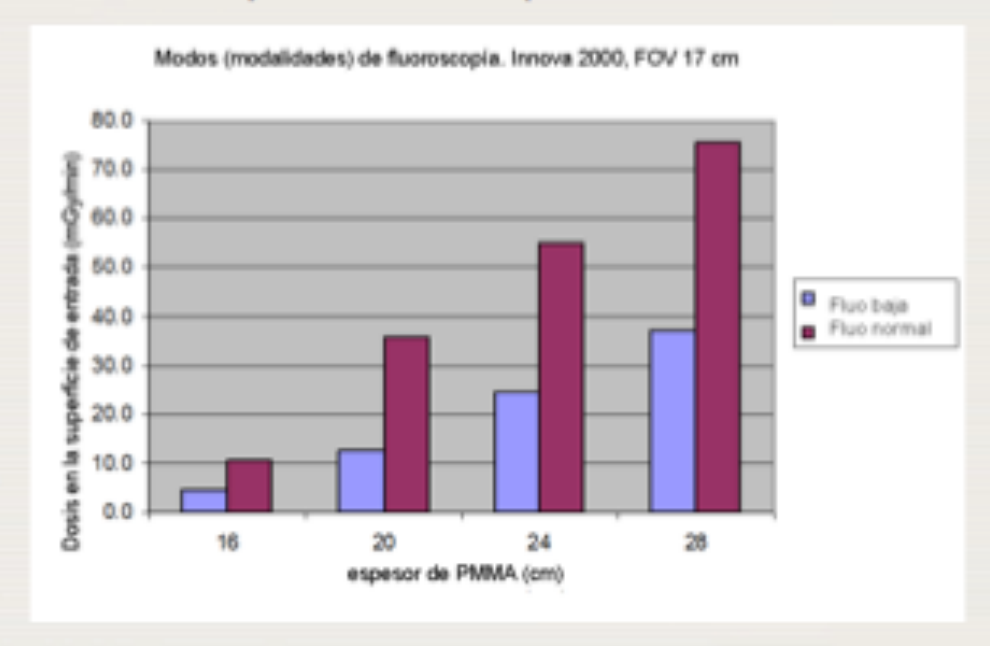


absorbed dose to tissue at a point in the patient D,

Modo fluoroscopía: ejemplos de tasas de kerma en aire



Kerma en aire en la superficie de entrada para diferentes modos de fluoroscopía y espesores de paciente



Cámara de ionización para medir tasa de kerma en aire en la superficie de entrada del maniquí (K_e)



CUADRO VIII.1. FACTORES DE RETRODISPERSIÓN, B, PARA AGUA, TEJIDO ICRU Y PMMA PARA 21 CALIDADES DE HACES DE RAYOS X DIAGNÓSTICOS Y PARA TRES TAMAÑOS DE CAMPO, A UNA DISTANCIA FOCO PIEL DE 1000 mm*

Potencial Potencial		Factor de retrodispersión ($\it B$)									
del tubo (Kv)	Filtro	Tamaño del campo	100 mm x 100 mm		200 mm x 200 mm		250 mm x 250 mm				
		CHR (mm Al)	agua	Tejido ICRU	PMMA	agua	tejido ICRU	PMMA	agua	Tejido ICRU	PMMA
50	2.5 mm A1	1.74	1.24	1.25	1.33	1.26	1.27	1.36	1.26	1.28	1.36
60	2.5 mm A1	2.08	1.28	1.28	1.36	1.31	1.32	1.41	1.31	1.32	1.42
70	2.5 mm A1	2.41	1.30	1.31	1.39	1.34	1.36	1.45	1.35	1.36	1.46
70	3.0 mm A1	2.64	1.32	1.32	1.40	1.36	1.37	1.47	1.36	1.38	1.48
70	3:0 mm A1 + 0.1 mm Cu	3.96	1.38	1.39	1.48	1.45	1.47	1.58	1.46	1.47	1.59
80	2.5 mm A1	2.78	1.32	1.33	1.41	1.37	1.39	1.48	1.38	1.39	1.50
80	3.0 mm A1	3.04	1.34	1.34	1.42	1.39	1.40	1.51	1.40	1.41	1.52
80	3:0 mm A1 +0.1 mm Cu	4.55	1.40	1.40	1.49	1.48	1.50	1.61	1.49	1.51	1.63
90	2.5 mm A1	3.17	1.34	1.34	1.43	1.40	1.41	1.51	1.41	1.42	1.53
90	3.0 mm A1	3.45	1.35	1.36	1.44	1.42	1.43	1.53	1.42	1.44	1.55
90	3:0 mm A1 +0.1 mm Cu	5.12	1.41	1.41	1.50	1.50	1.51	1.62	1.51	1.53	1.65
100	2.5 mm A1	3.24	1.34	1.34	1.42	1.40	1.41	1.51	1.41	1.42	1.53
100	3.0 mm A1	3.88	1.36	1.37	1.45	1.44	1.45	1.55	1.45	1.46	1.57
100	3:0 mm A1 +0.1 mm Cu	5.65	1.41	1.42	1.50	1.51	1.53	1.64	1.53	1.55	1.66

Magnitudes dosimétricas



 La tasa de esta magnitud es el incremento de kerma en aire en la superficie de entrada dK_{a,e} en un intervalo de tiempo dt.

$$\dot{K}_{\mathrm{a,e}} = rac{\mathrm{d}K_{\mathrm{a,e}}}{\mathrm{d}t}$$

Medido en Gy/s.

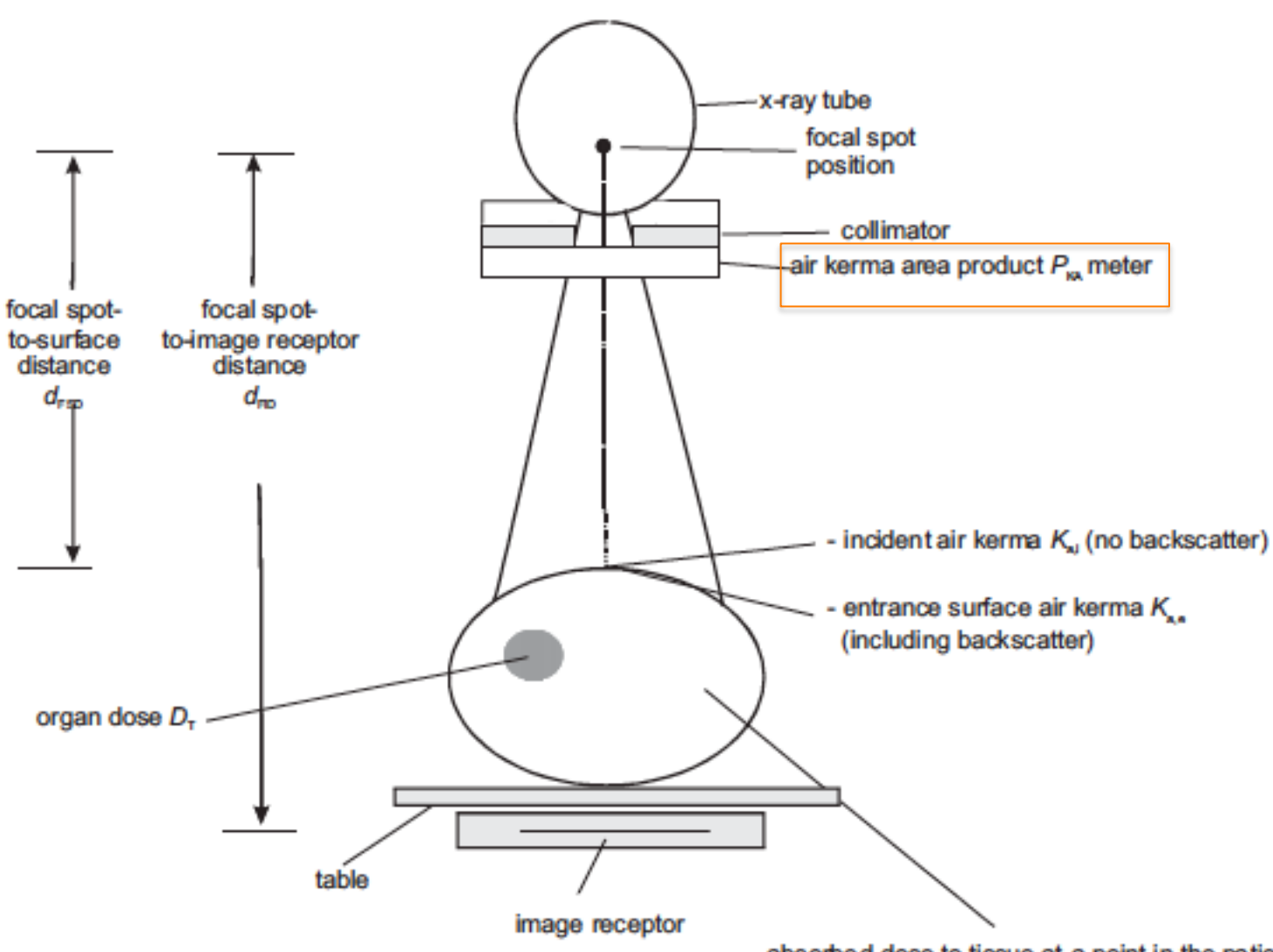
Magnitudes dosimétricas



- Producto Kerma en aire área (ICRU 74).
 - Es la integral del kerma en aire libre sobre el área A del haz de rayos X en un plano perpendicular al eje del haz.
 - Medido en Gy*cm² o Gy*m².

$$P_{ ext{KA}} = \int_A K_{ ext{a}}(A) \, \mathrm{d}A$$





absorbed dose to tissue at a point in the patient D,



Other important elements of the X ray systems





Transmission chamber and collimators

Magnitudes dosimétricas



 Si el kerma en aire es constante sobre el área del haz de rayos X,

$$P_{\mathrm{KA}} = \int_A K_{\mathrm{a}}(A) \mathrm{d}A = K_{\mathrm{a}}A$$

Esto es aproximadamente válido para áreas pequeñas.

Magnitudes dosimétricas



- P_{KA} tiene una propiedad muy útil.
- Si la atenuación y la dispersión en aire, y la radiación extra focal, pueden despreciarse.
- Su valor es invariante con el cambio de distancia al punto focal.
 - No debe haber contribución de backscatter por parte del paciente o fantoma.



¿Cómo podemos medir estas magnitudes?

Código de práctica del OIEA

Dosimetría en fluoroscopía

Fluoroscopía	Maniquí	Tasa de kerma en aire en la superficie de entrada	Medido directamente en un maniquí o calculado a partir del kerma en aire incidente usando factores de retrodispersión
	Paciente	Producto kerma en aire-área	También se mide la dosis máxima en piel. Como los métodos no están estandarizados, no están incluidos en este Código de práctica





- La recomendación es utilizar fantomas de agua, y opcionalmente de PMMA.
- En estas mediciones es importante que el detector que se utilice sea sensible a radiación directa y producto de retrodispersión.
- Si el detector no lo es, se recomienda medir la tasa de kerma incidente y corregir por factores de backscatter apropiados.



- ¿Qué se utiliza?
 - Detector de radiación (cámara de ionización o estado sólido) calibrado para las calidades de haz de fluoroscopía.
 - Fantoma de agua de 200 mm de espesor y área de 300 x 300 mm.
 - Fantoma de agua adicional de 100 mm de espesor y área de 300 x 300 mm.
 - Termómetro-barómetro.



- El fantoma de 200 mm se utiliza para representar al paciente adulto estándar.
- Pacientes de mayor contextura se representan agregando los restantes 100 mm.

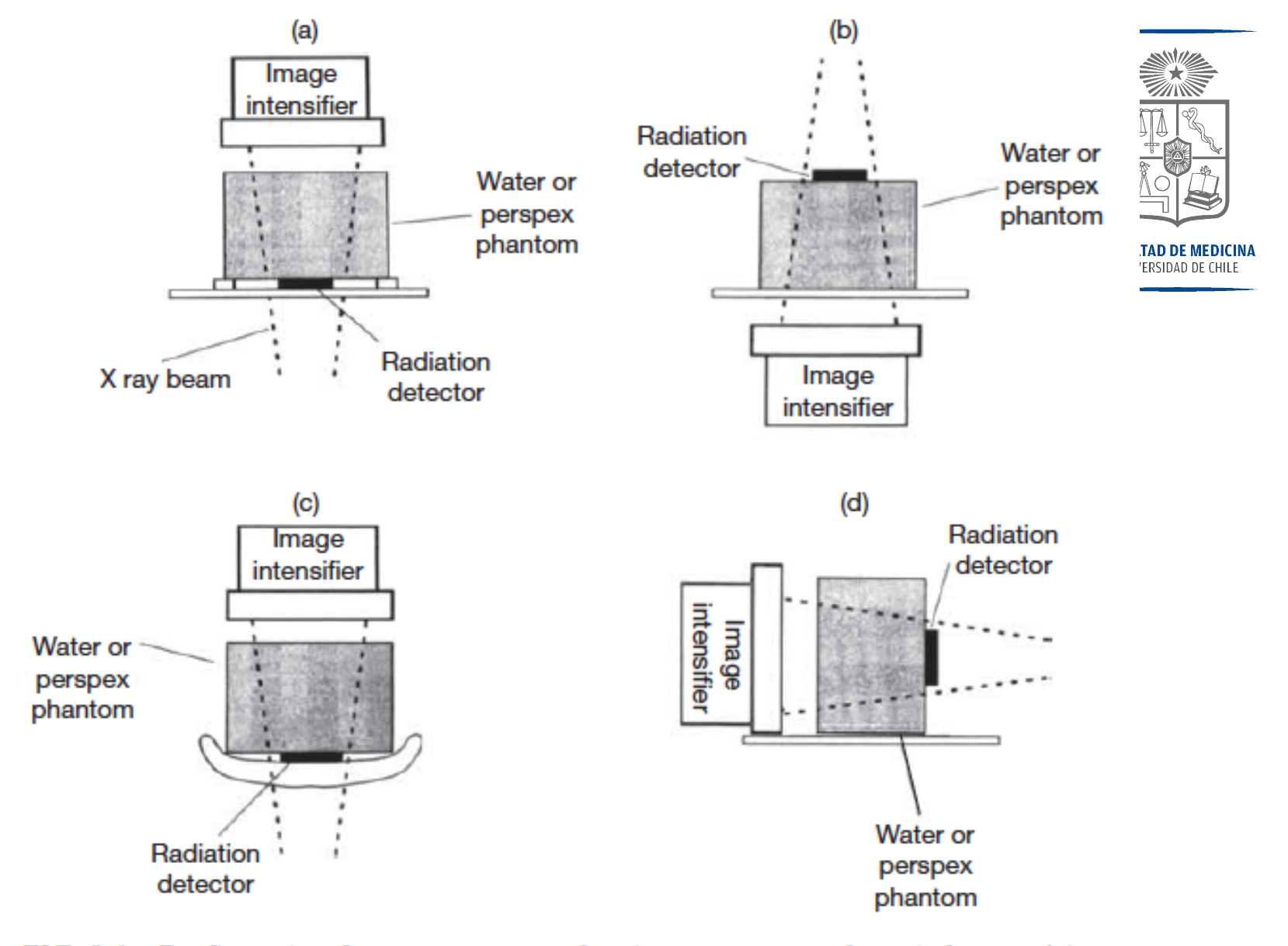


FIG. 8.4. Configuration for measurement of patient entrance surface air kerma: (a) an under couch installation, (b) an over couch installation, (c) a C-arm unit, (d) C-arm unit, lateral exposures or when a couch used clinically is not available (after Martin et al. [8.12]).



Cálculo:

$$\dot{K}_{\rm e} = \overline{\dot{M}} N_{K,Q_0} k_Q k_{\rm TP}$$

- M: promedio de 3 mediciones.
- N_{K,Qo}: factor de corrección de laboratorio patrón.
- kQ: factor de corrección por calidad del haz.
- kTP: factor de corrección por temperatura y presión.

$$k_{\text{TP}} = \left(\frac{273.2 + T}{273.2 + T_0}\right) \left(\frac{P_0}{P}\right)$$
 To: 20 °C Po: 101,3 kPa



- Variaciones:
- Si se ocupa PMMA en vez de agua como fantoma.

$$\dot{K}_{e} = \overline{\dot{M}} N_{K,Q_{0}} k_{Q} k_{TP} \frac{B_{w}}{B_{PMMA}}$$

Si el detector no es sensible a retrodispersión.

$$\dot{K}_{\rm e} = \overline{\dot{M}} N_{K,Q_0} k_Q B_{\rm w}$$



TABLE 8.4. FACTORS WHICH CONTRIBUTE TO THE MEASURE-MENT OF UNCERTAINTY IN THE DETERMINATION OF ENTRANCE SURFACE AIR KERMA RATE IN FLUOROSCOPY

Source of uncertainty	Uncertainty $(k = 1)$ (%)				
Source of uncertainty	Scenario 1	Scenario 2	Scenario 3		
Measurement scenario (see Table 8.2)	6.3	3.5	2.7		
Precision of reading	1.0^{a}	0.6^{b}	0.6^{b}		
Uncertainty in measurement position ^c	0.6	0.6	0.6		
Uncertainty in detector response to					
backscattered radiation	3.0	3.0	3.0		
Relative combined standard uncertainty $(k = 1)$	7.1	4.7	4.1		
Relative expanded uncertainty $(k = 2)$	14.2	9.4	8.2		

a One single reading taken.

b Standard deviation of the mean of three readings.

^c Corresponding to 2 mm in the positioning of detector at a distance 500 mm from the X ray focus.

Medición en pacientes



- La cámara de transmisión ubicada a la salida del tubo de rayos X permite registrar las variaciones que se producen durante un procedimiento y que tienen influencia sobre la dosis que recibe un paciente.
- La cámara no afecta la realización del examen y permite registro en tiempo real.

Medidores de P_{KA}

 Medidor de P_{KA} con cámara de ionización plana transparente.





En algunos sistemas:

 P_{KA} se calcula a partir de kV, filtración, mAs y posiciones de los diafragmas.



Medición en pacientes



Cálculo:

$$P_{KA} = MN_{P_{KA,Q_0}} k_Q k_{TP}$$

 N_{PKA,Qo}: Se obtiene en base a una cámara de referencia previamente calibrada.



¿Qué factores afectan la dosis del paciente?

Factores

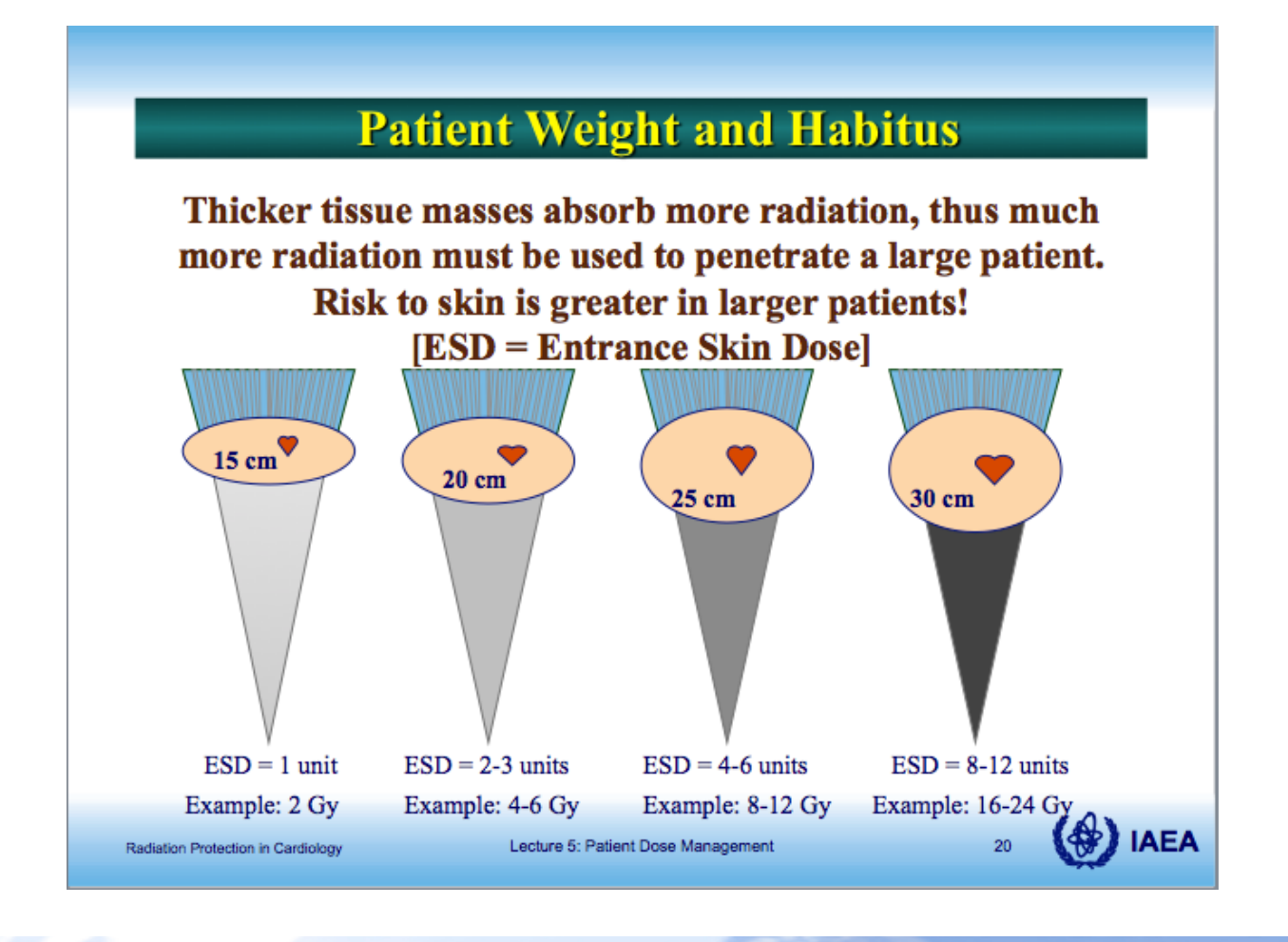


- Relacionados con el paciente.
- Relacionados con el equipo.
- Relacionados con el procedimiento.

Relacionados con el paciente



Peso y contextura del paciente.



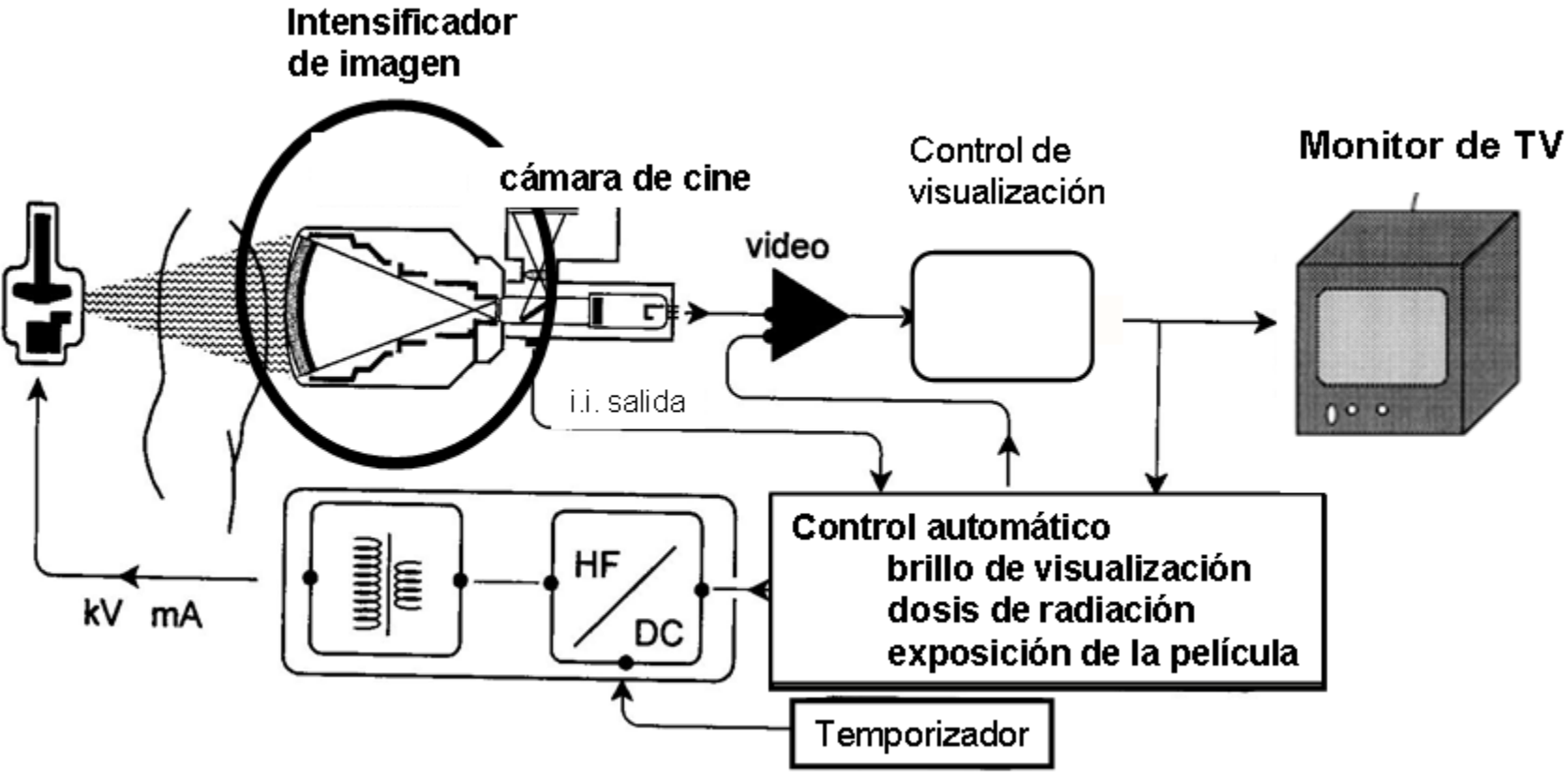
Relacionados con el equipo



- Capacidades de movimiento del arco C, tubo de rayos y receptor de imagen.
- Tamaño de campo.
- Posición del colimador.
- Filtración del haz.
- Frecuencia de pulsos de fluoroscopía y de frames de adquisición.
- Tasa de dosis de entrada para fluoroscopía y adquisición.
- Control automático de tasa de dosis incluyendo manejo de energía del haz.
- Espectro del haz de rayos X.
- Softwares para filtración de imágenes.
- Mantención preventiva y calibración.
- Control de calidad.

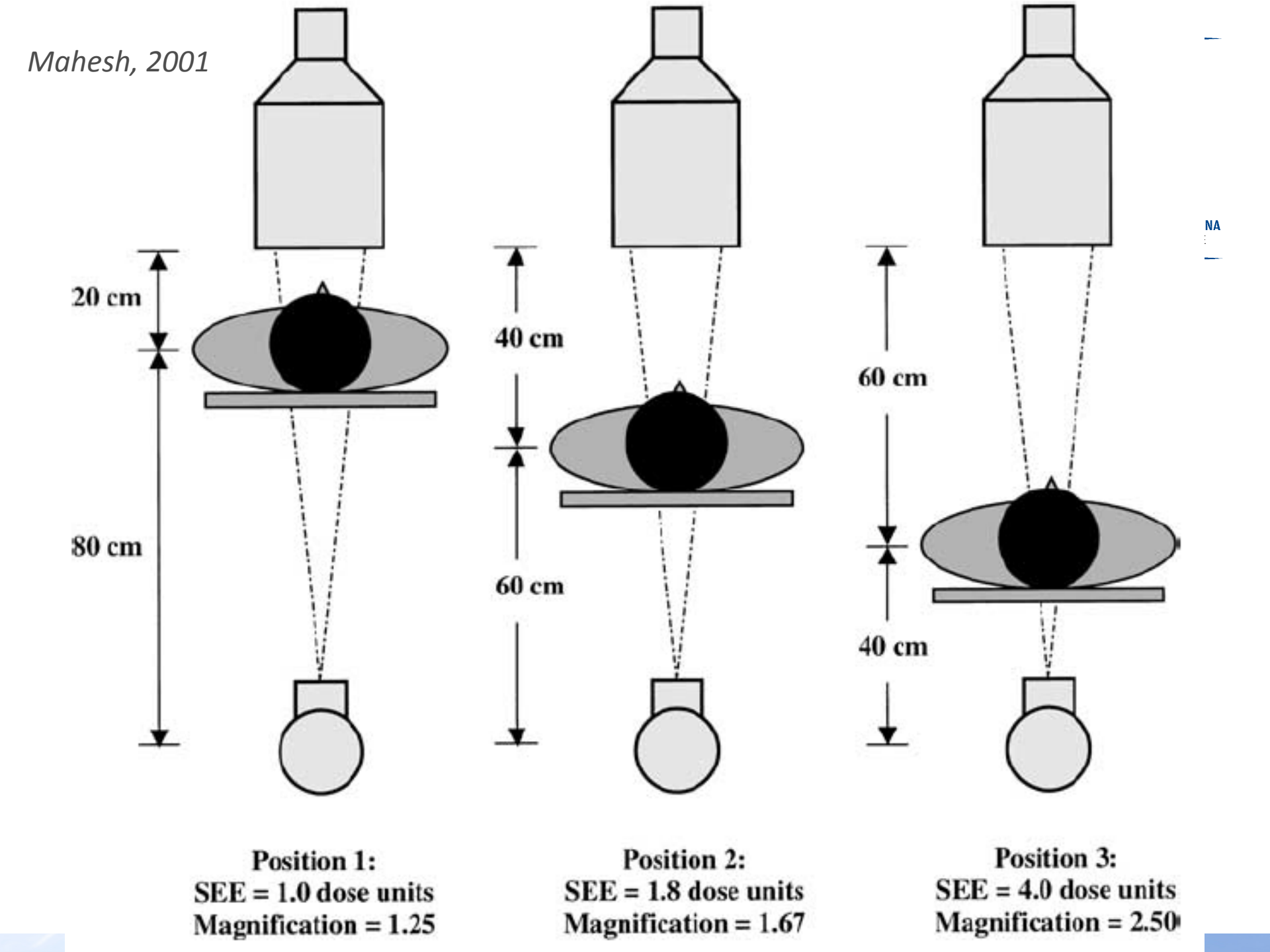
Relacionados con el equipo

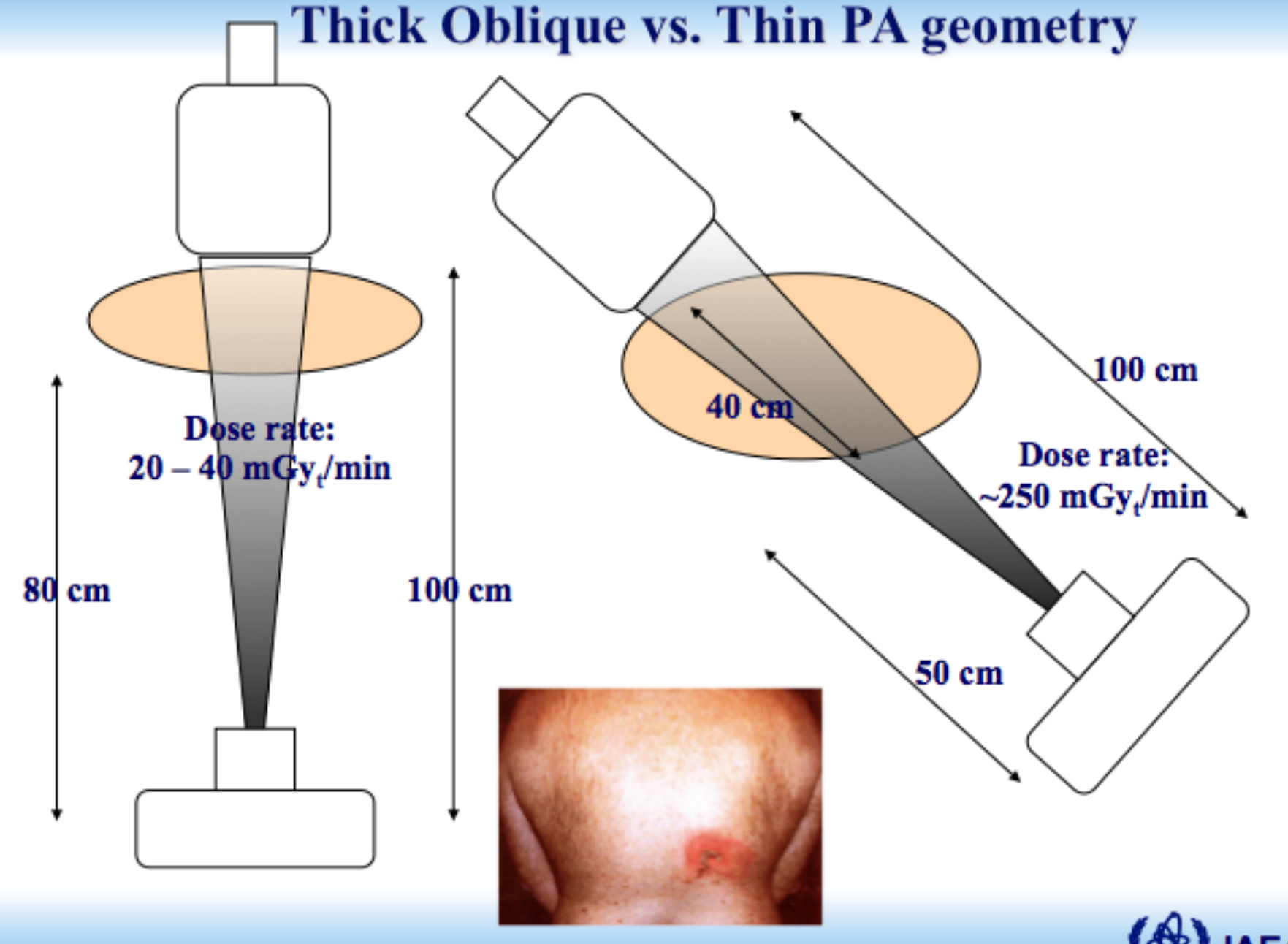




Relacionados con el procedimien

- FACULTAD DE MEDICIN. UNIVERSIDAD DE CHILE
- Posición del receptor de imagen y tubo de rayos X con respecto al paciente.
- Orientación del haz y movimiento.
- Colimación.
- Factores técnicos de fluoroscopía y adquisición en algunos equipos.
- Frecuencia de pulsos de fluoroscopía.
- Frecuencia de frames de adquisición.
- Tiempo total de fluoroscopía.
- Tiempo total de adquisición.







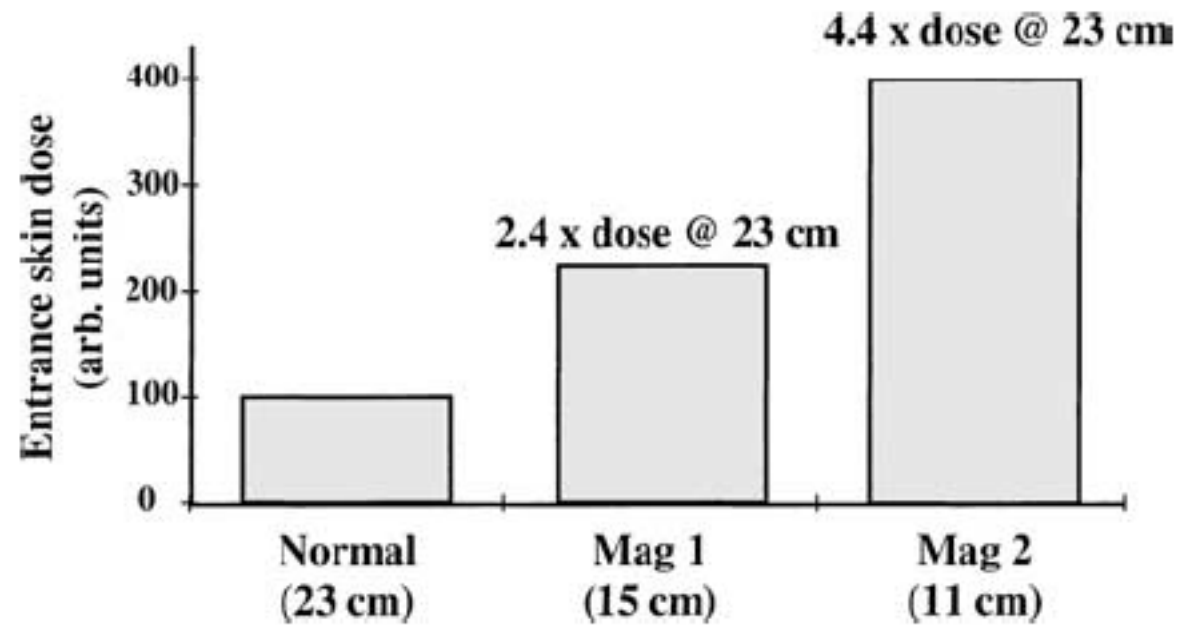
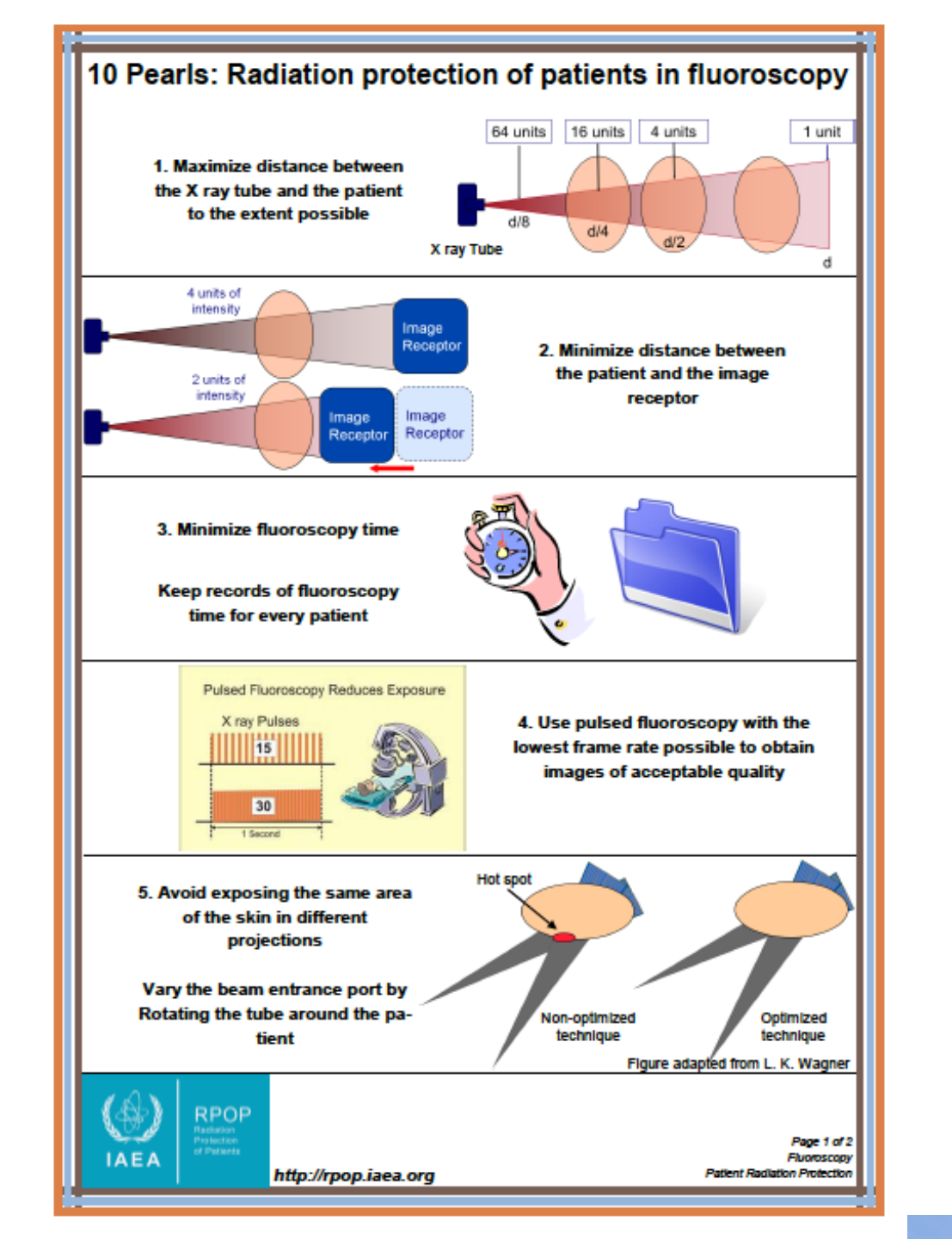


Figure 5. Effect of electronic magnification on entrance skin dose. The radiation dose increases by the square of the ratio of the image intensifier diameters. arb = arbitrary, Mag = magnification.



¿Cómo optimizar la dosis entregada a los pacientes en fluoroscopía?

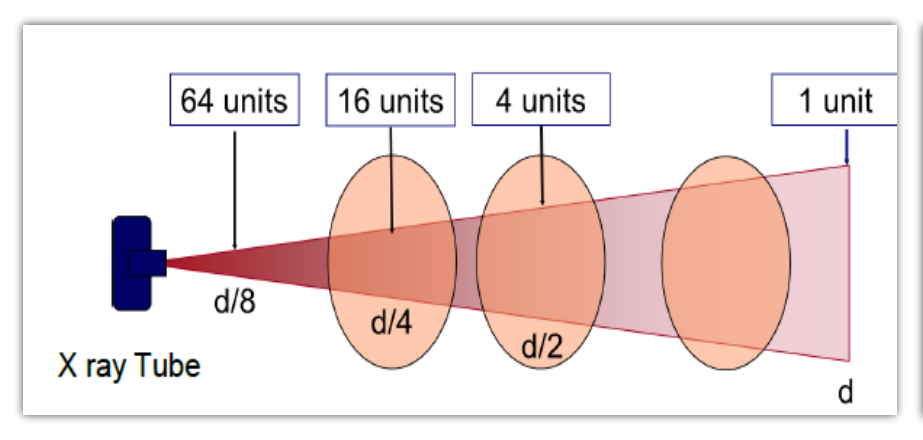


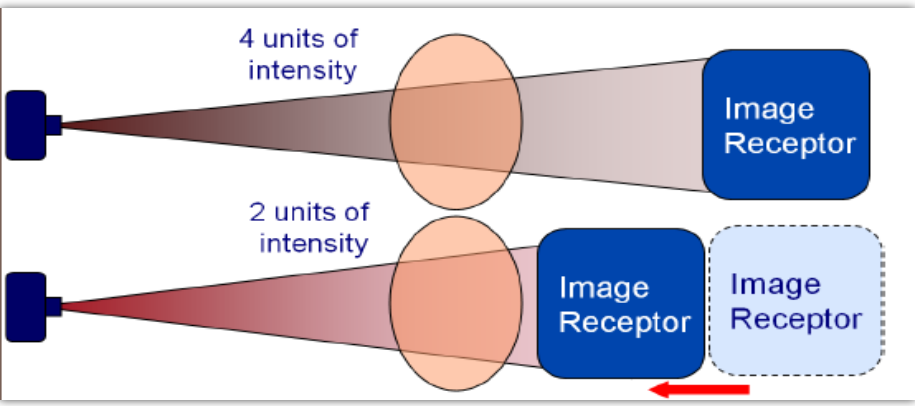




1. Máxima distancia entre tubo de Rayos X y el paciente

2. Mínima distancia entre pantalla intensificadora y paciente



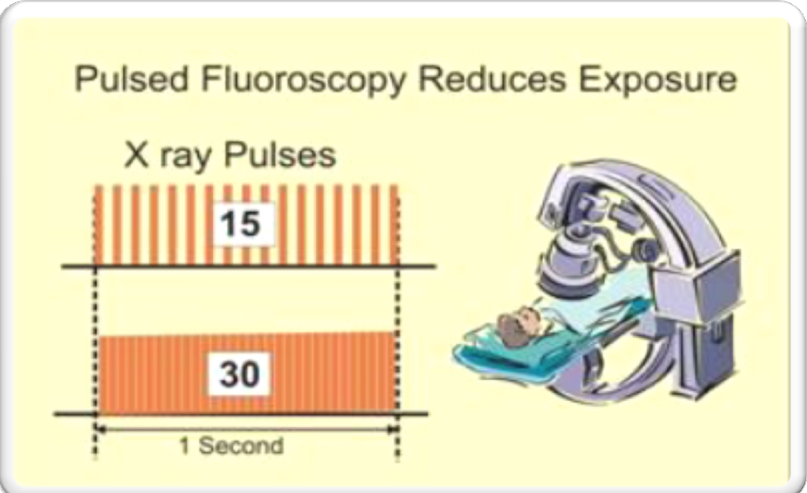




3. Minimizar tiempos de fluoroscopía, mantener registro del tiempo total

4. Usar fluoroscopía pulsada con la menor cantidad de Frames/segundo



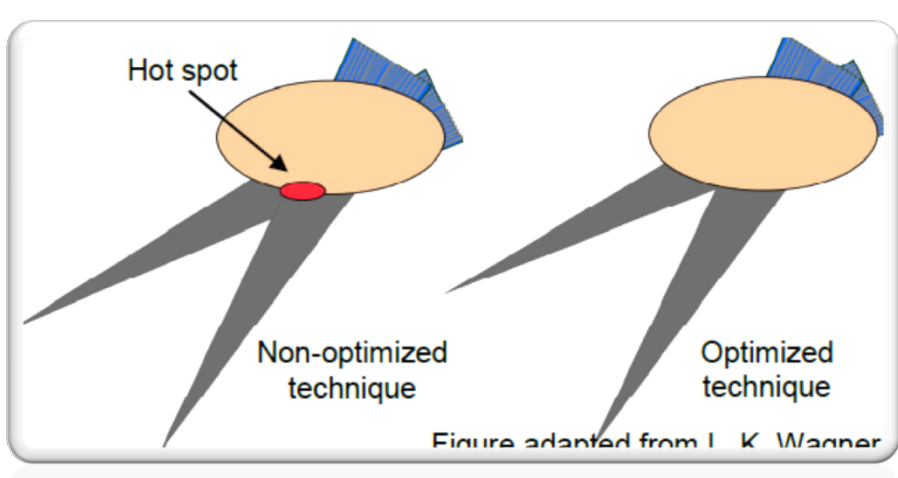


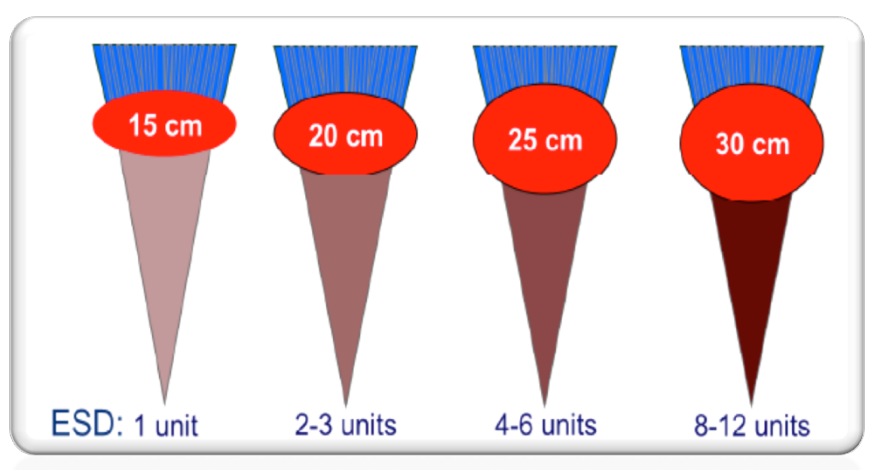
DICINA CHILE



5. Evitar exponer la misma área de la piel en diferentes proyecciones (variar el Haz de entrada)

6. A mayor grosor del paciente mayor dosis de entrada en piel





Finitre adanted from I K Wanner

ESD: 1 unit

2-3 units

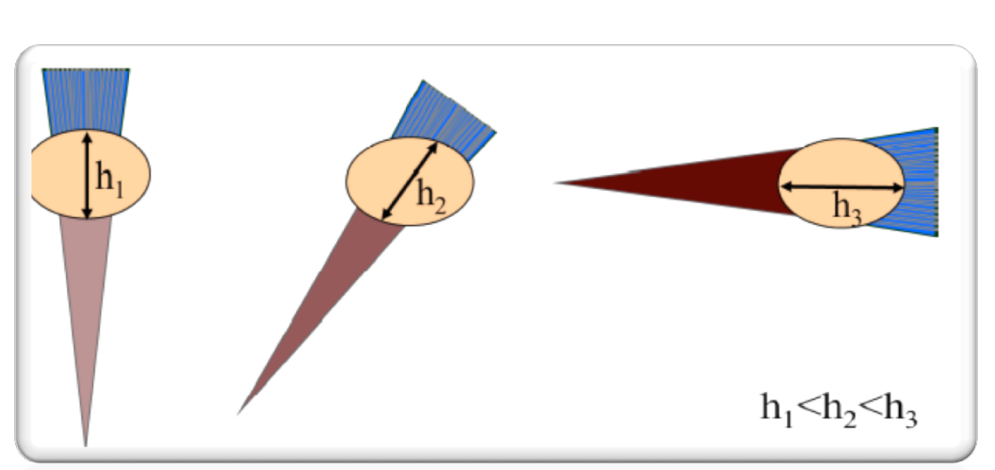
4-6 units

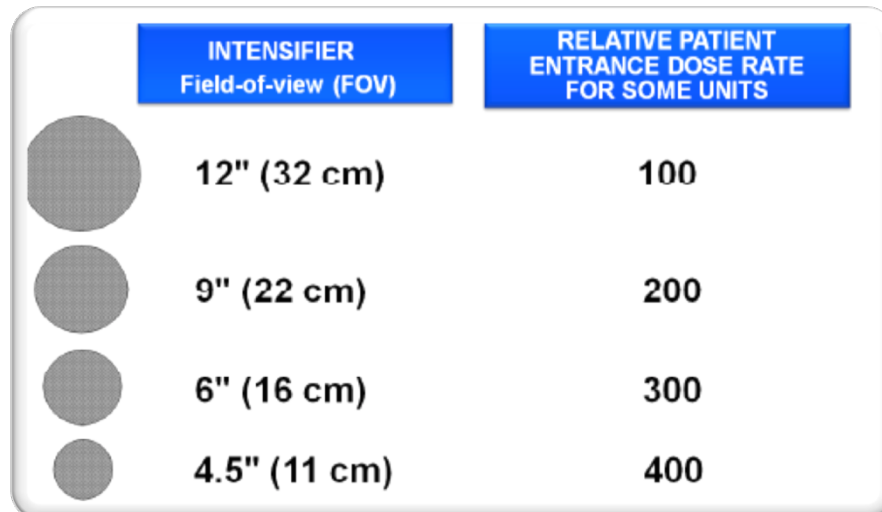
8-12 units



7. Evitar Proyecciones Oblicuas o Laterales

8. Ojo con la Magnificación, disminuir el FOV aumenta la dosis





 $h_1 < h_2 < h_3$

4:0 (11 cm)

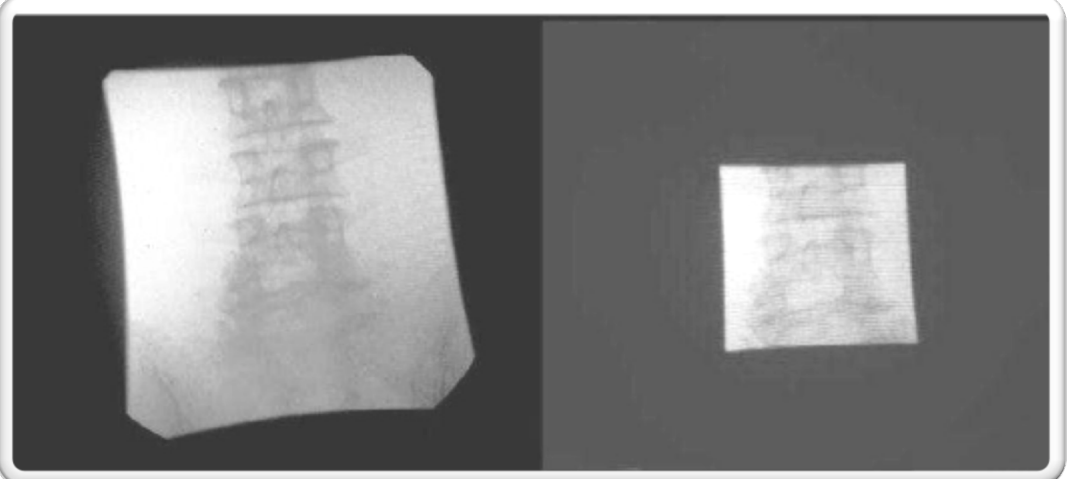
rt00



9. Minimizar Uso de Cine en fluoroscopía

10. Colimación







¿Qué referencias de dosis podemos consultar?

Limitation in entrance exposure rate





Federal Register: May 19, 1994. 21 CFR Part 1020. Federal Performance Standard for Diagnostic X-Ray Systems and Their Major Components; Final Rule. DEPARTMENT OF HEALTH AND HUMAN SERVICES Food and Drug Administration



Limitation in entrance exposure rate

- The Standard for Diagnostic X Ray Systems (May 19, 1994), limits the entrance exposure rate of fluoroscopic X ray systems during normal fluoroscopy to 10 R/min unless an optional high-level control (HLC) is activated.
- If HLC is activated, the entrance exposure rate must be limited to 20 R/min.
- The entrance exposure rate limits do not apply during the recording of images.



Tuesday, December 10, 2002

Part VII

Department of Health and Human Services

Food and Drug Administration

21 CFR Part 1020 Electronic Products; Performance Standard for Diagnostic X-Ray Systems and Their Major Components; Proposed Rule

Proposed Rule

December 10, 2002





mGy (total) mGy/min

(at 15 cm from the isocenter towards the x-ray source)

Fluoroscopy time

- (2) The value displayed for cumulative air kerma shall be in units of mGy; shall include all contributions generated from fluoroscopic and radiographic radiation;
 - (1) The value displayed for AKR shall be in units of mGy/min and shall represent the air kerma per unit time during fluoroscopy and while recording during fluoroscopy.
- (i) A display of the value and units of the irradiation time from the beginning of a patient examination or procedure.
- (7) The AKR and the cumulative air kerma shall not deviate from their respective displayed values by more than ±25 percent.



Limits: 88 mGy/min 180 mGy/min Fluoroscopic equipment manufactured on or after May 19, 1995:

Shall not be operable if AKR is higher than 88 mGy/min (10 R/min).

Exceptions:

- When a mode a high-level control is activated:
- 180 mGy/min (20 R/min). A continuous signal audible to the fluoroscopist shall indicate that the high-level control is being employed.
- During the recording of images (archiving of fluoroscopic or radiographic images in analog format with a video-tape or video-disc recorder does not qualify as an exception).

Protocolo Control de Calidad



- Protocolo ARCAL XLIX.
- Tasa de dosis máxima de entrada en piel del paciente:
- Tolerancias:
 - Condiciones normales de operación: < 25 mGy/min
 - Condiciones de alto nivel: < 100 mGy/min



PROTOCOLOS DE CONTROL DE CALIDAD EN RADIODIAGNÓSTICO



"TABLE III-IV. DOSE RATE GUIDANCE LEVELS FOR FLUOROSCOPY FOR A TYPICAL ADULT PATIENT

Mode of operation	Entrance surface dose rate ^a (mGy/min)
Normal	25
High level ^b	100

a In air with backscatter.

For fluoroscopes that have an optional 'high level' operational mode, such as those frequently used in interventional radiology."

CP3 CORO

INFORME DEL EXAMEN

Mospital : Mospital clinico San Carlos.

Ciudad : Madrid, Espana.

Fecha | 2002-03-15,16:27

Nombre del paciente: Sexo del paciente : M

Pecha de nacimiento: 1928-05-01

ID-examen : 34037

Nombre del medico : Dr. Codigo del medico : MS

Tiempo acumulativo de fluoroscopia : 10:00 min:sec Dosis acumulativa de fluoroscopia : 14.5 Gycm2 Dosis acumulativa de exp. : 26.8 Gycm2 Dosis acumulativa de todo el examon: 41.3 Gycm2 No. total de series realizadas : 13

	[I/s]			[Gat] [Gar]
1 16:59 6 12.5 IPS Coronaria	12 5	60 300	 7 +1	-1 89 17
2 17:01 64 12.5 IPS Coronaria	12.5	70 610	 7 +1	-4 88 17
3 17:02 64 12.5 IPS Coronaria	12.5	75 630	7 -17	-32 99 17
4 17:03 69 12.5 IPS Coronaria	12.5	79 775	7 +16	-32 100 17
5 17:06 64 12.5 IPS Coronaxia	12.5	77 717	7 -22	+31 94 17
6 17:11 55 12.5 TPS Coronaria	12.5	80 810	 7 +5	+84 102 17
7 17:14 65 12.5 IPS Coronaria	12.5	82 883	 7 +12	+45 99 17
8 17:15 57 12.5 TPS Coronaria	12.5	76 720	 7 +1	+88 103 17
9 17:18 56 12.5 TPS Coronaria	12.5	74 660	 7 +4	+31 95 17
10 17:18 50 12.5 IPS Coronaria	12.5	75 638	7 -13	+43 97 17
11 17:19 56 12.5 IPS Coronaria	12.5	71 605	 7 +3	+87 101 17
12 12.10 46 12 5 TPS Coronaria	12.5	73 650	 7 +3	-35 96 17
13 17:23 76 12.5 1PS Coronaria			 	

Example of the data included in a dosimetric report: Philips Integris 5000.

Coronary
angiography
65% cine; 35%
fluoroscopy
13 series, 728 frames
1,54 Gy.cm²/min
0,368 Gy.cm²/10 fr
1 min fluoroscopy =
39 fr = 3 s cine



TABLE 8 Complete examinations: mean dose-area product per room (adults)

Examination	Number	Room mean DAP distribution (Gy.cm ²)							
	Hospitals	Rooms	Patients	Mean	Min.	Мах.	1st Quarti	Median le	3rd Quartile
Abdomen	14	42	8127	4.3	0.3	38	1.8	3.1	4.4
Barium Enema	73	152	20555	16	1.4	99	7.6	13	21
Barium Follow Through	46	94	4027	. 7	0.3	. 36	3.4	5.6	8.4
Barium Meal	38	74	1116	9	0.1	76	3.9	6.5	11.8
Barium Meal & Swallow	26	62	2641	8	1.9	42	3.5	6.3	10.3
Barium Small Bowel Enema	15	26	469	18	2	64	8.9	12.8	23
Barium Swallow	66	130	9710	. 7	1.1	167	3	4.7	7.5
Barium Swallow (video)	25	61	1554	2.4	0.1	8.5	1.0	1.5	3.4
Chest	11	35	11484	0.7	0.01	7.4	0.07	0.1	0.3
Coronary Angiography*	53	140	36087	25	8	87	16	23	31
Coronary Graft Angiography*	17	49	1278	40	20	98	26	31	47
Femoral Angiography	22	48	2534	46	0.9	197	18	35	56
Fistulography	13	24	530	7	0.1	28	2.4	5	7.7
Hysterosalpingography	40	89	4248	1.7	0.1	22	0.5	1.1	1.9
IVU	18	22	1531	11.5	1.5	26	7.4	12	14
Lumbar Spine	10	29	1745	5	0.6	35	2	3	6
MCU	18	33	274	5	0.3	20	2.4	3.7	7
Nephrostography	19	36	522	6	0.1	25	2.5	4	8.7
Proctography	10	26	703	15	0.2	150	4.9	9.6	14
Sialography	13	22	340	3	0.02	20	0.4	1.8	2.8
Sinography	15	25	124	4.3	0.6	12	1.2	2.7	7.2
T Tube Cholangiography	14	32	301	4	0.2	16	2.1	3.4	4.9
Water Soluble Enema	21	58	1117	14	0.6	156	6	9	13
Water Soluble Swallow	13	36	1082	7	0.9	37	3.4	4.6	6.4

^{*} Mean patient weight range 75-85 kg.



DE MEDICINA IDAD DE CHILE

TABLE 14: Summary of data on other examinations and interventional procedures (adults) Examination/procedure Number Mean of Mean of Mean tube room mean room mean Hospitals Rooms **Patients** voltage DAP fluoro, time (seconds) (k∀) (Gy cm²) AICD Angiography (Cerebral) Angiography (Mesenteric) Angiography (Renal) Angioplasty (Femoral)

1.4

2.4

Angioplasty (Iliac)

Aortography (Arch)

Arthrography (Hip)

Dacryocystogram

Electrophysiology

ERCP (Diagnostic)

Hip

ERCP (Interventional)

Embolisation (Uterine fibroid)

Embolisation (Varicocele)

Filter (Inferior Vena Cava)

Naso-gastric feeding tube

Oesophageal dilation

					-	
Pacemaker (Biventricular)	. 8	14	332	30	1472	
Pacemaker (Temporary)	8	16	234	4.5	191	70
Patent Foramen Ovale closure	5	5	90	15	664	
Pelvis	9	27	1761	3	32	70
Percutaneous Endoscopic Gastrostomy	8	13	69	4	138	71
Percutaneous Transhepatic Cholangiography	12	19	246	45	891	69
PTCA 2 stents*	9	19	815	52	653	
Radio Frequency cardiac catheter ablation*	9	21	2510	23	1348	70
Radiologically Inserted Gastrostomy	5	6	65	8	165	70
Retrograde pyelography	7	8	34	5	82	74
Right Heart Catheterisation*	6	7	99	27	270	81
Stent (Biliary)	8	11	97	37	671	70
Stent (Bowel)	5	10	51	36	691	75
Stent (Iliac artery)	5	5	77	52	722	70
Stent (Superior Vena Cava)	7	8	39	21	338	71
Stent (Ureteric)	12	19	206	14	525	75
Thoracic spine	7	22	1238	3		
Urodynamics	10	14	803	4	47	77

^{*} Mean patient weight range 75-85 kg.

